

УДК 537.635

© 1992

## КРОСС-РЕЛАКСАЦИОННОЕ УСРЕДНЕНИЕ СПЕКТРА ЭПР В $\text{Pb}_5\text{Ge}_3\text{O}_{11} : \text{Gd}^{3+}$

*B. A. Важенин, К. М. Стариченко*

Исследование особенностей поведения сигнала ЭПР, возникающего в результате усреднения из-за кросс-релаксации части спиновых пакетов двух переходов, показало, что передача возбуждения осуществляется посредством магнитного диполь-дипольного взаимодействия. Установлено, что одним из механизмов неоднородного уширения ЭПР линий, способствующего образованию и обусловливающего аномальное поведение интенсивности усредненного за счет кросс-релаксации сигнала, является взаимодействие ионов  $\text{Gd}^{3+}$  через поле мягких оптических фононов.

1. В [1] нами сообщалось о наблюдении в сегнетоэлектрическом германате свинца  $\text{Pb}_5\text{Ge}_3\text{O}_{11}$  ( $P3 \leftrightarrow P\bar{6}$ ,  $T_c = 450$  К) между переходами  $+1/2 \leftrightarrow +3/2$  и  $-1/2 \leftrightarrow -3/2$  тригонального нелокально компенсированного центра  $\text{Gd}^{3+}$  вблизи совпадения их резонансных положений  $H_{\text{рез}}$  ( $\vartheta_0 \approx 42^\circ$ ,  $\vartheta$  — угол между направлением магнитного поля и оптической осью) дополнительного узкого сигнала, увеличивающегося при приближении к точке совпадения  $H_{\text{рез}}$  (рис. 1). Дополнительный сигнал наблюдается смещенным к переходу  $-1/2 \leftrightarrow -3/2$ , который имеет большую интегральную интенсивность и меньшую ширину. Появление этого сигнала связывается с усреднением за счет кросс-релаксации части спиновых пакетов двух исходных неоднородно-уширенных переходов, для которых вероятность кросс-релаксации  $W$  больше расстояния в спектре  $\Delta\nu$ . Возрастание относительной пиковой интенсивности дополнительного сигнала в районе сегнетоэлектрического перехода (рис. 2) можно объяснить, в частности, увеличением неоднородного уширения сигналов в результате замедления флуктуаций спонтанной поляризации [2], возрастания разброса поляризации, возникшего за счет дипольных дефектов [3], а также взаимодействия парамагнитных центров через поле мягких оптических фононов [4]. Азимутальная угловая зависимость интенсивности нового сигнала, имеющая периодичность  $120^\circ$ , при приближении к сегнетоэлектрическому переходу уменьшается, а в парофазе отсутствует. При исследовании спектра ЭПР вблизи совпадения переходов  $+1/2 \leftrightarrow -1/2$ ,  $-1/2 \leftrightarrow -3/2$  эффектов, подобных описанным, не наблюдается. Лишь при высокой СВЧ-мощности и особенно при понижении температуры наблюдаются двухквантовые переходы.

Похожий вид спектра ЭПР получен в [5–7] при учете релаксации без переворота спина между двумя крамерсовыми дублетами, происходящими из вибронного дублета, расщепленного в результате взаимодействия с большими деформациями. Части линий, уширенных за счет случайного разброса деформаций, оказываются в режиме релаксационного усреднения, что приводит к появлению в центре дополнительного сигнала. Существенным отличием рассматриваемой ситуации от нашей является то, что релаксация происходит на одном парамагнитном ионе.

Целью настоящей работы является исследование механизмов кросс-релаксации, приводящей к наблюдаемым эффектам. Так же как в [1], измерения проводились на спектрометре ЭПР трехсантиметрового диапазона на образцах монокристаллов германата свинца с примесью  $Gd_2O_3$  0.0075, 0.02, 0.1 % в шихте.

2. Для получения количественных характеристик дополнительного сигнала нами проводилась следующая процедура.

При большом  $\Delta\vartheta_p$  ( $1-1.5^\circ$ ), когда интенсивность дополнительного сигнала пренебрежимо мала (рис. 1), форма хорошо разрешенных первых производных

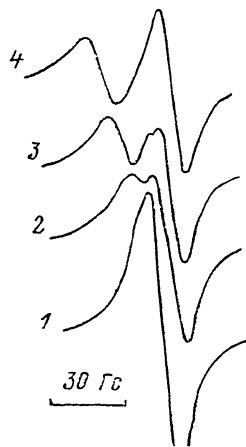


Рис. 1. Вид ЭПР-спектра при различных  $\Delta\vartheta = \vartheta - \vartheta_0$ .

$\vartheta_0$  — угол, при котором совпадают резонансные положения переходов  $\pm 1/2 \leftrightarrow 3/2$ . 1 —  $5'$ , 2 —  $15'$ , 3 —  $25'$ , 4 —  $35'$ .  $T=300$  К.

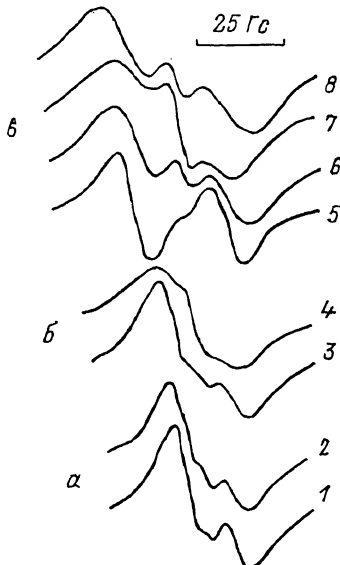


Рис. 2. Вид ЭПР-спектра при различных температурах и ориентациях.

$a$  —  $\Delta\vartheta = 18'$ ,  $b$  —  $20'$ ,  $\sigma$  —  $30'$ . 1 —  $163$ ; 2 —  $252$ ; 3 —  $323$ ; 4, 5 —  $423$ ; 6 —  $442$ ; 7 —  $446$ ; 8 —  $468$  К.

сигналов поглощения переходов  $\pm 1/2 \leftrightarrow \pm 3/2$  записывалась в память микро-ЭВМ; записывалась экспериментальная форма спектра ЭПР, состоящего из трех сигналов, при интересующем  $\Delta\vartheta$ ; численным интегрированием находились формы линий поглощения записанных сигналов; измерялось положение переходов при их точном совпадении и в предположении линейной зависимости резонансных положений от  $\Delta\vartheta$  находились положения переходов при  $\Delta\vartheta$ ; при помощи суммирования линий поглощения, найденных при  $\Delta\vartheta_p$  и сдвинутых в положения при  $\Delta\vartheta_s$ , определялась форма спектра ЭПР без учета кросс-релаксационного усреднения; разность полученного спектра и экспериментального с нормированными интегральными интенсивностями представляла собой форму дополнительного сигнала (рис. 3). Угол  $\vartheta$  измерялся с точностью 1 мин, погрешность при записи формы линии не превышала 1 %. Для компенсации ошибок при установке точного совпадения резонансных положений переходов эта ориентация устанавливалась многократно, и записанные формы сигналов суммировались.

Оказалось, что при комнатной температуре интегральная интенсивность дополнительного сигнала при  $\Delta\vartheta = 0^\circ$  составляет  $4 \pm 1$  % от суммарной интенсивности двух основных сигналов  $+1/2 \leftrightarrow +3/2$ ,  $-1/2 \leftrightarrow -3/2$  и в пределах точности измерений не зависит от концентрации парамагнитной примеси.

Оценить величину эффекта при  $\Delta\vartheta \neq 0^\circ$  не удалось в связи с возрастанием погрешностей процедуры измерений и обработки спектра и, по-видимому, с уменьшением интенсивности дополнительного сигнала. Тем не менее были замечены следующие особенности: расстояние между переходами  $\pm 1/2 \leftrightarrow \pm 3/2$  в экспериментальном спектре оказалось меньше, чем между расчетными, и они имели большую ширину (рис. 4), что хорошо согласуется с предполагаемым в [1] поведением спиновых пакетов с  $W < \Delta\vartheta$ .

В точном совпадении  $H_{\text{pes}}$  переходов  $+1/2 \leftrightarrow -1/2$ ,  $-1/2 \leftrightarrow -3/2$  при низком уровне

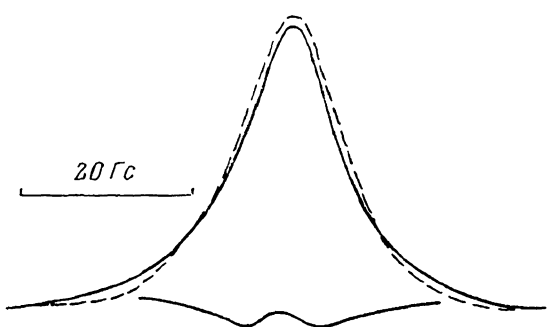


Рис. 3. Форма линии экспериментального (сплошная кривая) и расчетного (штриховая кривая) сигналов при совпадении  $H_{\text{pes}}$  переходов  $\pm 1/2 \leftrightarrow \pm 3/2$ , а также их разность.  $T=300$  К.

СВЧ-мощности ( $\sim 10$  дБ), когда двухквантовые переходы должны быть достаточно слабыми, в результате аналогичной обработки спектра был зарегистрирован дополнительный сигнал того же порядка, что и для случая совпадения  $H_{\text{pes}}$  переходов  $+1/2 \leftrightarrow +3/2$ ,  $-1/2 \leftrightarrow -3/2$ . В совпадении резонансных положений переходов  $+1/2 \leftrightarrow +3/2$  и  $+1/2 \leftrightarrow -1/2$ , в котором реализуется иное расположение спиновых пакетов [1], полученная при обра-

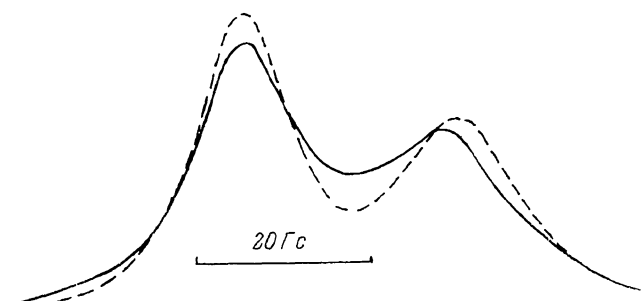


Рис. 4. Экспериментальная (сплошная кривая) и синтезированная (штриховая кривая) формы сигналов  $\pm 1/2 \leftrightarrow +3/2$  при  $\Delta\vartheta = 35'$ ,  $T=300$  К.

ботке относительная интенсивность нового сигнала не превышала точности измерений.

3. Температурные измерения показали, что относительная интегральная интенсивность дополнительного сигнала при точном совпадении  $H_{\text{pes}}$  переходов  $\pm 1/2 \leftrightarrow \pm 3/2$  с повышением температуры монотонно растет, не имея особенностей в районе сегнетоэлектрического перехода, что находится в некотором контрасте с рис. 2.

Согласно [2], вероятность процесса передачи квантов энергии от спину  $i$  к спину  $j$ , разность которых изменяет энергию спин-спинового взаимодействия, дается выражением

$$W_{ij} = h^{-2} |\langle E_i, E_j | H_{ij} | E_i + h\nu_\alpha, E_j - h\nu_\beta \rangle|^2 g_{\alpha\beta}, \quad (1)$$

где  $H_{ij}$  — оператор спин-спинового взаимодействия;  $g_{\alpha\beta}$  — функция формы линии, которую приближенно можно представить в виде [8, 9]

$$g_{\alpha\beta} = (2\pi \langle \Delta v_{\alpha\beta}^2 \rangle)^{-1/2} \exp(-(\nu_\alpha - \nu_\beta)^2 / 2 \langle \Delta v_{\alpha\beta}^2 \rangle), \quad (2)$$

где второй момент  $\langle \Delta v_{\alpha\beta}^2 \rangle$  — линейная [8] или более слабая [10] функция вторых моментов резонансных линий. При совпадении  $H_{\text{рез}}$  двух переходов  $(\nu_\alpha - \nu_\beta) \rightarrow 0$ , что обуславливает исчезновение сильной зависимости форм-фактора кросс-релаксации от ширины исходных линий. В связи с этим отсутствие особенностей экспериментального поведения интенсивности дополнительного сигнала в области структурного фазового перехода при совпадении положений переходов  $\pm 1/2 \leftrightarrow \pm 3/2$  свидетельствует о независимости  $|\langle H_{ij} \rangle|^2$  от температуры, что совершенно естественно для магнитного дипольного механизма передачи возбуждения. В этом случае увеличение ширины линии в районе сегнетоэлектрического перехода должно приводить даже к уменьшению относительной интенсивности дополнительного сигнала. Наблюдение такого поведения осложняется узостью температурного диапазона, где можно его наблюдать, и сложностью измерений в области сегнетоэлектрического перехода.

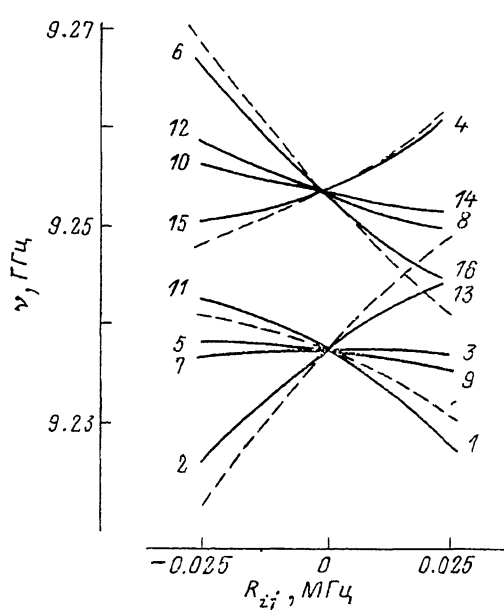
В [1] допускалась возможность передачи возбуждения благодаря спин-спиновому взаимодействию ионов  $Gd^{3+}$  через поле мягких фононов вида ( $z \parallel C_3$ )

$$\sum_{j>i} R_{ij} O_{43}^i O_{43}^j, \quad (3)$$

где  $O_{43}$  — спиновые операторы Стивенса,  $R_{ij}$  — температурно-зависящая функция расстояния и угла между осью связи и  $C_3$ . Это взаимодействие возникает вследствие наличия в спиновом гамильтониане  $Gd^{3+}$  члена вида  $b_{43} O_{43}$ , линейно связанного со спонтанной поляризацией. Расчеты  $|\langle H_{ij} \rangle|^2$  с оператором (3) на функциях, полученных при точной диагонализации матрицы спинового гамильтониана, в предположении непрерывного и равновероятного распределения парамагнитных ионов по кристаллу приводят к вероятности кросс-релаксации между переходами  $\pm 1/2 \leftrightarrow \pm 3/2$ , в пять раз большей, чем для переходов  $1/2 \leftrightarrow -1/2$ ,  $-1/2 \leftrightarrow -3/2$ . Однако предсказывается сильная зависимость от азимутального угла внешнего магнитного поля с периодом в  $60^\circ$  как в сегнето-, так и в парафазе, что противоречит наблюдаемому поведению (см. пункт 1). Вероятность кросс-релаксации за счет магнитного дипольного взаимодействия ( $z \parallel H$ ), вычисленная также в предположении непрерывного распределения ионов, оказалась практически одинаковой для двух рассматриваемых пар переходов со слабой 120-градусной азимутальной зависимостью в сегнетофазе, исчезающей в парафазе. Подобное поведение угловой зависимости дополнительного сигнала вблизи совпадения положений переходов  $\pm 1/2 \leftrightarrow \pm 3/2$  можно рассматривать как сильный аргумент в пользу магнитного дипольного механизма кросс-релаксации. Отсутствие дополнительного сигнала в спектре около совпадения переходов  $\pm 1/2 \leftrightarrow -1/2$ ,  $-1/2 \leftrightarrow -3/2$ , как отмечалось в [1], объясняется малой неоднородной шириной перехода  $\pm 1/2 \leftrightarrow -1/2$ , обуславливающей быстрое уменьшение интенсивности нового сигнала при уходе от точного совпадения  $H_{\text{рез}}$ .

4. В работе [1] показано, что в районе совпадения положений переходов  $\pm 1/2 \leftrightarrow \pm 3/2$ , а также  $+1/2 \leftrightarrow -1/2$  и  $-1/2 \leftrightarrow -3/2$  реализуется такой характер неоднородного уширения линий за счет разброса и флуктуаций поляризации, который благоприятствует формированию и наблюдению дополнительного сигнала. На наш взгляд, представляет интерес исследовать влияние на уширение этих переходов взаимодействия парамагнитных ионов типа (3). С этой целью была рассчитана зависимость спектра ЭПР пары взаимодействующих ионов  $Gd^{3+}$  вблизи совпадения положений переходов  $\pm 1/2 \leftrightarrow +3/2$  (рис. 5) от величины и знака параметра взаимодействия  $R_{ij}$ . Зависимость получена в результате точной диагонализации матрицы 64-го порядка, построенной на волновых функциях, взятых в виде произведений состояний, смешанных за счет одноионных взаимодействий.

На рис. 5 приведена также зависимость, полученная при учете только двух состояний каждого из взаимодействующих ионов и смешивания лишь квазивырожденных состояний. Видно, что приближенный расчет достаточно хорошо передает качественные особенности трансформации спектра отдельного иона в спектр пары. В целом результаты проделанных расчетов аналогичны выводам [11], полученным для спектра ЭПР двух неодинаковых ионов, связанных изотропным обменным взаимодействием. Наиболее интенсивные ЭПР-переходы за счет взаимодействия сдвигаются к центру спектра, тогда как слабые сигналы уходят на периферию. Отсюда следует, что взаимодействие ионов  $Gd^{3+}$  через мягкие фононы, так же как и разброс поляризаций, приводит к неоднородному уширению, способствующему формированию усредненного за счет кросс-релаксации дополнительного сигнала (т. е. выполнения условия  $W > \Delta\nu$ ) в достаточной для наблюдения окрестности совпадения исходных переходов. Все рассмотренные механизмы неоднородного уширения [2-4] в районе сегнето-



родному уширению, способствующему формированию усредненного за счет кросс-релаксации дополнительного сигнала (т. е. выполнения условия  $W > \Delta\nu$ ) в достаточной для наблюдения окрестности совпадения исходных переходов. Все рассмотренные механизмы неоднородного уширения [2-4] в районе сегнето-

Рис. 5. Зависимость резонансных частот ЭПР-переходов с ненулевой вероятностью пары ионов  $Gd^{3+}$ , взаимодействующих через поле мягких фононов, вблизи совпадения положений переходов  $\pm 1/2 \leftrightarrow \pm 3/2$  отдельных ионов от величины и знака параметра взаимодействия ( $\theta = 41.4^\circ$ ,  $H = 3382$  Гц).

Штриховые линии — зависимости, полученные при учете только двух состояний каждого иона. Относительные вероятности переходов: 1 — 0.7, 2 — 1.9, 3 — 3.2, 4 — 3.7, 5 — 3.8, 6 — 5.7, 7 — 6.9, 8 — 7.4, 9 — 7.7, 10 — 8.0, 11 — 9.3, 12 — 11.2, 13 — 11.4, 14 — 11.9, 15 — 13.0, 16 — 14.3.

электрического фазового перехода имеют особенность, что и обуславливает аномальное поведение пиковой интенсивности дополнительного ЭПР-сигнала вблизи совпадения  $H_{res}$  исходных переходов. Механизмом релаксации, приводящей к усреднению части спиновых пакетов двух ЭПР переходов, по-видимому, является магнитное дипольное взаимодействие.

Наблюдаемая независимость относительной интенсивности дополнительного сигнала в точном совпадении резонансных положений переходов  $+1/2 \leftrightarrow +3/2$ ,  $-1/2 \leftrightarrow -3/2$  от концентрации парамагнитной примеси (см. пункт 2) возможна только при близких концентрационных зависимостях скорости кросс-релаксации  $W$  и расстояния в спектре между соответствующими спиновыми пакетами  $\Delta\nu$ . В [12] установлено, что скорость кросс-релаксации, обусловленной магнитным дипольным взаимодействием, — линейная функция концентрации парамагнитной примеси. При точном совпадении  $H_{res}$   $\Delta\nu$  пропорционально ширине исходных линий ЭПР, обусловленной разбросом спонтанной поляризации и взаимодействием парамагнитных ионов через поле мягких оптических фононов. Согласно [3, 13], уширение линий ЭПР вдали от сегнетоэлектрического перехода за счет косвенного электродипольного взаимодействия с дефектами пропорционально концентрации этих дефектов. В германате свинца, легированном ионами гадолиния, имеется богатый спектр точечных дипольных дефектов [14], концентрация которых много больше концентрации парамагнитной примеси. Однако имеют также место сложные комплексы, состоящие из иона

$Gd^{3+}$  и зарядокомпенсирующего дефекта, обладающие большим дипольным моментом. Концентрация этих комплексов естественно пропорциональна концентрации гадолиния. Кроме того, статическое взаимодействие одинаковых парамагнитных ионов через поле мягких оптических фононов тоже должно приводить к уширению сигналов ЭПР, линейно связанным с концентрацией  $Gd^{3+}$  [3]. Для выяснения основного механизма неоднородного уширения линий необходимы тщательные исследования температурных и угловых зависимостей ширины и формы сигналов. Пока же можно только утверждать, что близость концентрационного поведения  $W$  и  $\Delta v$  в точном совпадении  $H_{pea}$  исходных переходов возможна.

В заключение авторы выражают искреннюю благодарность Е. Л. Румянцеву и А. Д. Горлову за участие в обсуждении результатов работы, А. П. Потапову и М. Ю. Артемову за помощь в расчетах и измерениях.

#### Список литературы

- [1] Важенин В. А., Стариченко К. М. // Письма в ЖЭТФ. 1990. Т. 51. № 8. С. 406—408.
- [2] Waldkirch Th., Muller K. A., Berlinger W. // Phys. Rev. B. 1973. V. 7. N 3. P. 1052—1066.
- [3] Вугмейстер Б. Е., Глинчук М. Д., Кармазин А. А., Кондакова И. В. // ФТТ. 1981. Т. 23. № 5. С. 1380—1386.
- [4] Румянцев Е. Л., Важенин В. А., Стариченко К. М. // Тез. докл. VII Всес. симпозиума по спектроскопии кристаллов. Л., 1982. С. 109.
- [5] Herrington J. R., Estle T. L., Boatner L. A. // Phys. Rev. B. 1971. V. 3. N 9. P. 2933—2945.
- [6] Reynolds R. W., Boatner L. A. // Phys. Rev. B. 1975. V. 12. N 11. P. 4735—4754.
- [7] Берсукер И. Б., Полингер В. З. Вибронные взаимодействия в молекулах и кристаллах. М.: Наука, 1983. 336 с.
- [8] Bloembergen N., Shapiro S., Pershan P. S., Artman J. O. // Phys. Rev. 1959. V. 114. N 2. P. 445—459.
- [9] Kiel A. // Phys. Rev. 1960. V. 120. N 1. P. 137—141.
- [10] Grant W. J. C. // Phys. Rev. 1964. V. 134. N 6A. P. 1555—1581.
- [11] Абрагам А., Блини Б. Электронный парамагнитный резонанс переходных ионов. М.: Мир, 1972. Т. 1. 651 с.
- [12] Сигмен А. Мазеры. М.: Мир, 1966. 520 с.
- [13] Вихнин В. С., Борковская Ю. Б. // ФТТ. 1982. Т. 24. № 2. С. 472—479.
- [14] Важенин В. А., Стариченко К. М., Гурьев А. В. // ФТТ. 1988. Т. 30. № 5. С. 1443—1447.

Уральский государственный университет  
им. А. М. Горького  
Екатеринбург

Поступило в Редакцию  
19 февраля 1991 г.  
В окончательной редакции:  
19 июля 1991 г.